

銚子沖洋上観測タワーを用いたデュアルスキャニングライダーによる風速標準偏差の精度検証

Validation of Dual-Doppler LiDAR Wind Speed Standard Deviation Assessment Using the Met-mast at Choshi Offshore Site

○佐々木 亘¹⁾
Watarut SASAKI¹⁾

福本 幸成²⁾
Yukinari FUKUMOTO²⁾

猪俣 海斗²⁾
Kaito INOMATA²⁾

日東寺 美知夫¹⁾
Michio NITTOJI¹⁾

石原 孟³⁾
Takeshi ISHIHARA³⁾

1. はじめに

風力発電所の事業計画の検討、評価、また、風車設計には精度の高い風況データを取得することが重要である。しかしながら、特に洋上における風況観測マストの設置と施工には多大な時間的・経済的コストを要するため、近年ではリモートセンシング技術を活用したドップラーライダーによる風況観測が行なわれている。

これまでにドップラーライダーによる風速及び風向の精度検証研究が多く行われ^{1,2,3)}、ライダーによる風速・風向が高精度であることが報告されているが、乱流強度の観測精度についての研究は少ない^{4,5)}。

本研究では、デュアルスキャニングライダー(DSL)による洋上風況観測の精度検証を目的とし、銚子沖洋上風況観測タワー（以下、観測タワー）における三杯式風速計及び矢羽根式風向計による計測値を用いて、DSLによる風速標準偏差の精度検証を行った。本論文では風況観測の概要と精度検証の結果を報告し、また、種本ら（2022）⁵⁾によるDSLの風速標準偏差の補正についての検証を行う。

2. 風況観測の概要

2.1 DSLによる観測

Leosphere 社の WINDCUBE 400S を 2 台用いて銚子沖洋上の風況観測を行った。ライダーの計測位置は、双方のライダーの視線を観測タワーの北東側に位置する 40m（平均海水面上）の風速計から反時計回りに 0.05° 回転させて交差した位置とし、60m 高及び 90m 高の計測位置についても観測高以外は 40m 高と同様とした。図 1 にライダー、観測タワー及び計測位置の位置関係を示す。

ライダーの観測モードは FIXED として、3 高度の観測を 20 秒の切り替え時間間隔で行った。ライダーの設定概要については、佐々木ら(2022)⁴⁾を参照されたい。

2.2 銚子沖洋上風況観測タワーによる観測

銚子沖 3.1km に設置された銚子沖洋上風況観測タワーにて観測された風況データを検証用データとして用いた。検証に用いたデータは、3 高度 (40m, 60m, 90m) に取り付けられた 3 台の三杯式風速計及び矢羽根式風向計を用いて観測タワーの影響を極力排除した風況データである⁶⁾。



図 1 ライダー設置位置と観測地点

Figure 1 Location of DSL and met mast.

3. 風速標準偏差の精度評価

DSL による風速、風向、風速標準偏差は既往研究の方法により算出し^{1,7)}、風速標準偏差の精度は、BIN 加重平均誤差⁸⁾を用いて評価した。BIN 加重平均誤差式 (1) で定義される。

$$\sum_{k=1}^N f_k (\bar{\sigma}_{DSL,k} - \bar{\sigma}_{Tower,k}) \quad (1)$$

ここで、N は風速 BIN の個数を表し、 $k=1, 2, \dots, N$ である。 f_k はタワーの風速計の k 番目の風速 BIN の頻度割合を表す。 $\bar{\sigma}_{DSL,k}$ と $\bar{\sigma}_{Tower,k}$ はそれぞれ DSL と観測タワーによる風速階級別の風速標準偏差 ($\bar{\sigma}_k$) を表す。

¹⁾ 東電設計株式会社

Tokyo Electric Power Services Company, Limited

³⁾ 東京大学大学院工学系研究科社会基盤学専攻

Professor, Department of Civil Engineering, The University of Tokyo

²⁾ 東京電力リニューアブルパワー株式会社

TEPCO Renewable Power, Incorporated

教授

表1(補正前)に高度別のビン加重平均誤差を示す。ただし、式(1)を観測タワーにおけるビン加重平均した風速標準偏差で除すことにより、相対誤差として表した。全観測高において、ビン加重平均誤差は約-20%であり、また、風速が高いほど、DSLの風速標準偏差が観測タワーの風速標準偏差よりも小さい傾向が見られた(図2)。

表1 補正前後のビン加重平均誤差

Table 1 Bin-weighted mean error of $\bar{\sigma}$ before and after correction

観測高	補正前	補正後
40m	-19.8	5.2
60m	-19.2	2.5
90m	-22.0	-0.4

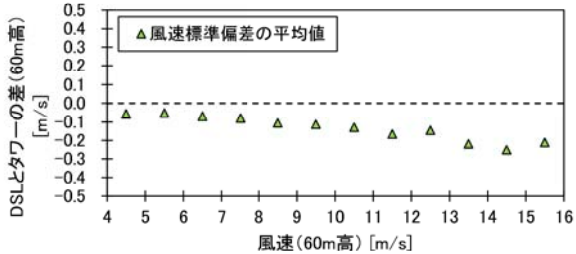


図2 DSLと観測タワーの $\bar{\sigma}$ の差(DSL-観測タワー)

Figure 2 Difference bewteen $\bar{\sigma}_{DSL,k}$ and $\bar{\sigma}_{Tower,k}$ (DSL minus met-mast)

4. 風速標準偏差の補正

DSLの風速標準偏差の精度については、ビン加重平均誤差が5%以内であることが求められており、風速標準偏差の補正方法として、佐々木ら(2022)、種本ら(2022)の方法が提案されている。本論文では、種本ら(2022)が提案したシミュレーションを用いた補正方法について検証を行う。

種本ら(2022)によるDSLの風速標準偏差の補正方法は、3次元ランダム風速場を空間解像度1m、サンプリング間隔1秒で生成し、1秒毎の風速をDSLのレンジゲート長で空間平均化することにより補正を行う方法である。詳細については、種本ら(2022)を参照されたい。本研究では、種本らの方法と同様に、NREL

(National Renewable Energy Laboratory)で開発されたTurbSimを用いて風速階級別に6シードのシミュレーションを行った。

図3に補正前後のDSLと観測タワーの風速階級別の $\bar{\sigma}$ を示す。補正後のDSLの $\bar{\sigma}$ は概ね観測タワーの $\bar{\sigma}$ と同じ値となり、補正が良くできていることを示している。表1(補正後)に補正後のビン加重平均誤差を示す。補正により、ビン加重平均誤差は概ね5%以内となった。

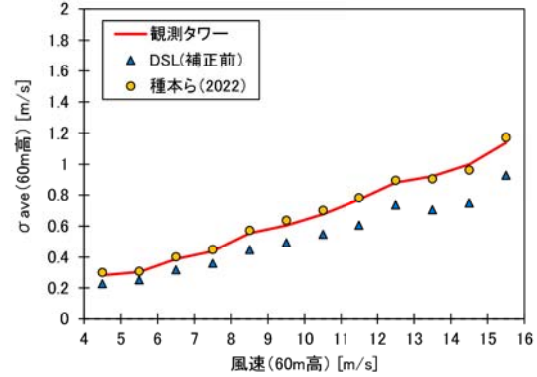


図3 補正前後のDSL及び観測タワーの $\bar{\sigma}$

Figure 3 $\bar{\sigma}_{DSL,k}$ before and after correction, and $\bar{\sigma}_{Tower,k}$.

5. まとめ

銚子沖の洋上DSL観測による風速標準偏差の平均値は、観測タワーの値に比較して約20%過小であった。本論文では、種本ら(2022)による風速標準偏差の補正方法の検証を行い、誤差が概ね5%以内となることを確認した。

参考文献

- 渡邊慶一郎、高桑晋、邊見力、石原孟、デュアルスキャニングライダーを用いた洋上風況観測に関する研究、Journal of JWEA, Vol. 45, No. 2, 2021.
- 嶋田進ら、むつ小川原サイトにおけるスキャニングライダー実験その2 デュアル観測の精度検証、第43回風力エネルギー利用シンポジウム予稿集, pp112-115, 2021.
- 大畠静佳ら、むつ小川原サイトにおけるスキャニングライダー実験その4 デュアルスキャン観測パラメータ設定と計測精度評価、第43回風力エネルギー利用シンポジウム予稿集, pp120-123, 2021.
- 佐々木亘、福本幸成、猪俣海斗、日東寺美知夫、石原孟、第44回風力エネルギー利用シンポジウム予稿集, pp.152-155, 2022.
- 種本純、林岑蔚、高橋和也、隅田耕二、白枝哲次、デュアルスキャニングライダーによる乱流強度観測値の補正に関する検討、第44回風力エネルギー利用シンポジウム予稿集, pp.156-159, 2022.
- 福本幸成、大塙一正、山中徹、石原孟、銚子沖における洋上風況観測結果、第36回風力エネルギー利用シンポジウム予稿集, pp. 225-228, 2014.
- Simon, E. and M. Courtney, 2016, A Comparison of sector-scan and dual Doppler wind measurements at Høvsøre Test Station – one lidar or two?, DTU Wind Energy. DTU Wind Energy Report E-0112.
- NEDO, 洋上風況観測ガイドブック中間報告, 2022.